

ارزیابی تجربی مشخصات مکانیکی پروفیل‌های کامپوزیتی و بررسی عملکرد اتصال‌های تیر به ستون

علیرضا رهابی (استاد)

مهدی وفیع‌زاده (استاد)

دانشکده‌ی هندسی پلیمر و رئیک، دانشگاه صنعتی امیرکبیر

محمد قاجار* (کارشناس ارشد)

دانشکده‌ی هندسی عمران و محیط زیست، دانشگاه صنعتی امیرکبیر

در پژوهش حاضر، با انجام ۳ آزمایش اتصال تیر به ستون، عملکرد اتصال‌های مصالح کامپوزیتی FRP بررسی شده است. اتصال‌هایی که در پژوهش حاضر استفاده شده‌اند، از نوع: پیچی، پیچی تقویت شده و جسبی بوده‌اند. اتصال پیچی تقویت شده با استفاده از اعضاء تیر و ستون ساخته و به عنوان ایده‌بی نو مطرح و مطالعه شدند. نتایج حاصل از آزمایش‌ها نشان می‌دهد که اتصال چسبی از نظر ظرفیت باربری و سختی اولیه‌ی اتصال، عملکرد بسیار بهتری نسبت به اتصال پیچی دارد، به طوری که ظرفیت باربری و سختی اولیه‌ی اتصال چسبی به ترتیب ۲ و ۵ برابر اتصال پیچی بوده است. اتصال پیچی، به تنهایی عملکرد مناسبی ندارد و باید بالاترین عملکرد مکانیکی آن باشد از برخی تقویت‌کننده‌ها استفاده شود. اتصال پیچی تقویت شده، ظرفیت باربری و سختی اولیه‌ی برابر با اتصال چسبی و تقریباً نصف اتصال چسبی، سختی دورانی دارد. تغییر مکان کم در اتصال چسبی، شکستی ترد در اتصال ایجاد می‌کند.

rahai@aut.ac.ir
mehdi@aut.ac.ir
mgphpioneer@aut.ac.ir

واژگان کلیدی: پروفیل‌های کامپوزیتی FRP، الیاف، رزین، اتصال‌های پیچی، اتصال‌های چسبی.

۱. مقدمه

دوران‌های ($\varphi - M$) مختلف را به دست آورند و عملکرد اتصال را از نظر صلابت بررسی کنند. مترم و زنگ^۵ نیز در سال‌های ۱۹۹۶ و ۱۹۹۹، آزمایش‌های دیگری برای اتصال پیچی تیر به ستون انجام دادند و مشاهده کردند که عضو ضعیف، نیشی فوقانی است و لذا پیشنهاد دادند که یک قطعه‌ی تقویتی L شکل در نیشی فوقانی قرار دهد تا ضعف ایجاد شده بطرف شود. در آزمایش‌های دیگر مترم مشاهده شده است که افزایش پیچ‌ها، تأثیری در میزان صلابت اتصال ایجاد نمی‌کنند؛ اما اگر علاوه بر پیچ، از چسب نیز استفاده شود، صلابت اتصال به میزان زیادی افزایش می‌یابد. در زمینه‌ی اتصال‌های پیچی، مهم‌ترین کار را تروی و کوپر^۶ در سال ۱۹۹۶ و تروی در سال ۲۰۰۰ انجام داده‌اند. در اولين سري آزمایش‌ها، سختی اولیه‌ی اتصال‌ها را تعیین کردند و به این نتیجه رسیدند اتصال‌هایی که نیشی ضخیم‌تری دارند، سختی اولیه‌شان بیشتر است. در دومین سري آزمایش‌ها، از نیشی فلزی ضدزنگ استفاده شد که در اطراف سوراخ پیچ‌ها، هیچ نشانه‌ی از تسليیم شدگی مشاهده نکردند، اما در خمیدگی پایین نیشی، تسليیم شدن را مشاهده کردند. مسلم^۷ در سال ۲۰۱۱، آزمایش‌هایی روی اتصال تیر به ستون ارائه داد که شامل استخراج منحنی ممان - دوران ($\varphi - M$) اتصال، نمایش روند شکست و ویژگی‌های مودهای شکست بوده

۲. تاریخچه‌ی اتصال‌های مصالح کامپوزیتی

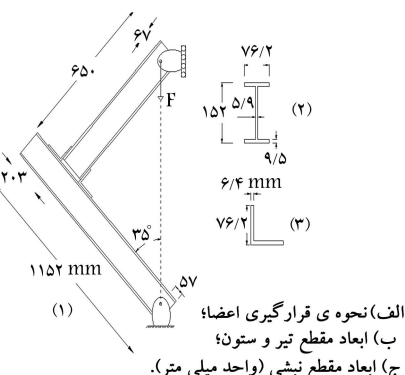
بنک^۴ و همکارانش در سال‌های ۱۹۹۰-۱۹۹۶، اولين آزمایش خود را بر روی اتصال پیچی تیر به ستون منتشر کردند از پروفیل‌های کامپوزیتی انجام دادند تا پاسخ ممان -

* نویسنده مسئول

تاریخ: دریافت ۳۰/۱۰/۱۳۹۶، اصلاحیه ۱۵/۲/۱۳۹۷، پذیرش ۹/۳/۱۳۹۷.

جدول ۱. نتایج آزمایش مشخصات مکانیکی مصالح FRP.

مصالح	$E_1(GPa)$	$E_2(GPa)$	$E_3(GPa)$	FRP
GFRP	۰,۲۸۶	۵,۲۲	۶,۱۹	۱۸,۷۵



شکل ۳. نحوه قرارگیری اعضاء تیر، ستون، تکیه‌گاه‌ها.

ASTM ^{۱۱} استفاده شده است. از آزمایش مذکور می‌توان برای یافتن مدول کشسانی در جهت الیاف (E_1) و عmod بر جهت الیاف (E_2)، مدول برشی (G_{12})، ضریب پواسون (ν) و مقاومت کششی اجسام نیز استفاده کرد. در پروفیل‌های کامپوزیتی FRP به علت غیرهمسانگرد بودن، باید برای سه جهت طولی، عرضی و ارتفاعی مشخصات مکانیکی تعیین شوند. در نوشتار حاضر، مصالح کامپوزیتی استفاده شده از ترکیب الیاف شیشه و رزین پلی استراست. آزمایش‌های مشخصات مکانیکی کامپوزیت براساس استانداردهای ASTM D638 ^[۷] (برای کششی) و ASTM-D3518 ^[۸] (برای برش) انجام شده‌اند. شکل نمونه‌ها، دمبلی بوده و برای بریدن نمونه‌های دمبلی شکل از دستگاه برش واترجت ^{۱۲} استفاده شده است. سپس هر سه نمونه، تحت آزمایش کشش قرار گرفته‌ند. از شیب قسمت خطی منحنی‌های تنش - کرنش، مقادیر مدول کشسانی E و مدول برشی G به دست آمده و همچنین برای تعیین ضریب پواسون از دو کرنش سنتج در جهت طولی و عرضی استفاده شده است. مقدار ضریب پواسون از تقسیم کرنش عرضی بر کرنش طولی به دست آمده است (جدول ۱).

۵. اتصال تیر به ستون در مصالح کامپوزیتی

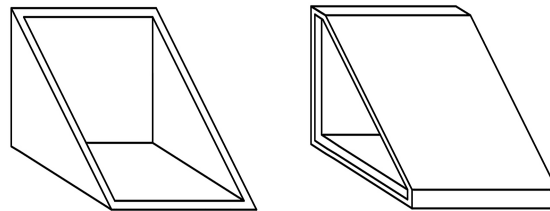
در برنامه‌ی پژوهشی، اتصال تیر به ستون در دو حالت پیچی و چسبی بررسی شده است. علاوه بر این، یک اتصال تقویت شده نیز بررسی شده است.

۱.۵. مشخصات هندسی آزمایش

نحوه قرارگیری اعضاء تیر، ستون، تکیه‌گاه‌ها و ... مطابق شکل ۳ و امتداد بار به صورت قطری بوده است. ابعاد هندسی و نحوه قرارگیری اعضاء در شکل مذکور ارائه شده است.

۲.۵. مشخصات اتصال

در برنامه‌ی پژوهشی، سه نوع اتصال برای انجام آزمایش مطابق شکل ۴ در نظر گرفته شده است که دو اتصال پیچی (معمولی و تقویت شده) و یک اتصال چسبی هستند.



شکل ۱. نبیشی‌های تقویت شده توسعه بنک و مسلم.^[۶]



شکل ۲. نبیشی‌های تقویت شده مورد بررسی.

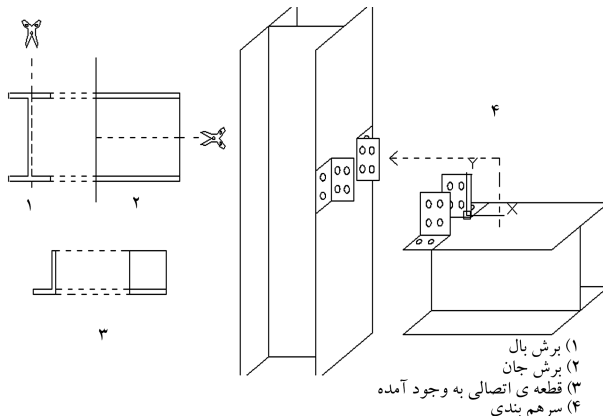
است. کورشی ^۸ و مترم نیز در سال‌های ۲۰۱۳ و ۲۰۱۴، نشان دادند که افزایش ظرفیت جایه‌جایی می‌تواند موجب سر خودن در فضای خالی سوراخ پیچ شود. ^[۲] همچنین در مورد اتصال‌های چسبی، آسیشیون ^۹ و همکاران در سال ۲۰۱۶، با انجام آزمایش‌هایی روی اتصال تیر به ستون با چسب نشان دادند که اتصال‌های چسبی نیز مقاومتی یکسان با اتصال‌های متنااظر پیچی دارند و استفاده از آن‌ها در طراحی‌ها باید گسترش یابد. ^[۱۳] در سال ۲۰۱۷، نیز دیوید مارتینز ^{۱۰} و همکاران، آزمایشی را بر روی اتصال پیچی تیر به ستون با مقطع قوطی شکل انجام دادند که در آن قطعه‌ی اتصالی، قطعه‌ی فلزی مستطیل شکل بوده است و نشان دادند که تعداد رذیف‌های پیچ در سختی اتصال و فاصله‌ی پیچ تا لبه‌ی قطعه در مقاومت اتصال اثرگذار است. ^[۱۴]

۳. برنامه‌ی مطالعات آزمایشگاهی

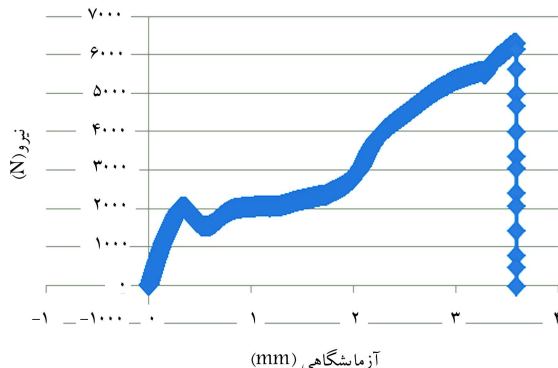
نبشی اتصال در سیستم‌های سازه‌یی، نقش مهمی در ساختی اتصال تیر به ستون ایفا می‌کند. برای افزایش سختی اتصال، بنک و مسلم و ... از نبیشی‌های تقویت شده بی مطابق شکل ۱ استفاده کرده‌اند که تولید آن‌ها دشوار و با محدودیت روبرو بوده است. بر همین اساس در پژوهش حاضر، از روش ساده‌تری برای ایجاد اتصال تقویت شده استفاده شده است. در این ارتباط می‌توان از نبیشی یا از پروفیل‌های I شکل تیر و ستون استفاده کرد. در پژوهش حاضر، از پروفیل‌های I شکل تیر و ستون استفاده شده است، به طوری که با ایجاد چند برش در پروفیل I شکل، پروفیلی همانند نبیشی تولید شود و درنهایت، پروفیل‌های مذکور به گونه‌ی کنار یکدیگر قرار گرفته‌ند تا اتصالی تقویت شده به وجود آید (شکل ۲).

۴. مشخصات مکانیکی مصالح کامپوزیتی

برای تعیین مشخصات مکانیکی مصالح از آزمایش کشش، مطابق آینین نامه‌ی



شکل ۶. مراحل ایجاد اتصال تقویتی.



شکل ۷. منحنی بار جابه‌جایی اتصال چسبی با استفاده از سشوار

و بخاری بر قری استفاده شده است. نتایج حاصل از آزمایش کششی اتصال چسبی قطعات کامپوزیتی که با سشوار عمل آوری شده‌اند، در شکل ۷ مشاهده می‌شود. در حالت عمل آوری در دمای معمولی، بیشینه‌ی تنش برشی چسب اپوکسی مورد بررسی برابر $12 MPa$ بوده و در حالت عمل آوری با سشوار مقدار بیشینه‌ی تنش برشی $25 MPa$ رسیده است.

۳.۰. ابزار اندازگیری آزمایش

در آزمایش‌های انجام شده، سختی قاب، سختی دورانی اتصال و بیشینه‌ی ظرفیت باربری قاب بررسی شده است. برای اندازگیری سختی قاب، شبی بار واردی F به جابه‌جایی ایجاد شده (Δ) محاسبه شده است (رابطه ۱). برای یافتن جابه‌جایی ایجاد شده می‌توان از جابه‌جایی اندازه‌گیری شده توسط دستگاه سروپست^{۱۳} و یا از یک LVDT^{۱۴} زیر محل وارد شدن بار استفاده کرد (شکل ۸).

$$K_{F_{frame}} = \frac{F}{\Delta} \quad (1)$$

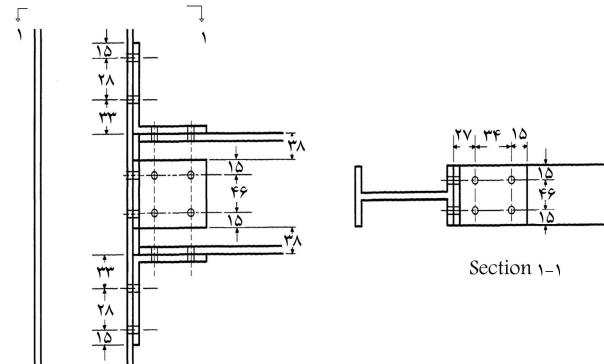
سختی دورانی اتصال و میزان دوران آن، از طریق ۲ عدد LVDT (شکل ۹الف) و دوران تیراز طریق ۶ عدد کرنش سنج مخصوص کامپوزیت الیاف شیشه ۳ عدد روی بال بالای و ۳ عدد در بال پایینی تیرا، اندازه‌گیری می‌شود (شکل ۹ب). میزان دوران و سختی دورانی اتصال با توجه به شکل ۱۰، از روابط ۲ الی ۴ تعیین شده است:

$$\theta = \frac{\Delta_1 - \Delta_2}{d} \quad (2)$$



الف) اتصال پیچی معمولی؛ ب) اتصال پیچی تقویت شده؛ ج) اتصال چسبی.

شکل ۸. انواع اتصال.



شکل ۹. فواصل بین پیچ‌ها (واحد میلی‌متر).

یکی از مشکلات موجود در ناحیه‌ی اتصال، جداشدگی بال ستون از جان ستون در محل وارد شدن بار کششی (نبشی فوقانی) است. در آزمایش‌های انجام شده، یک نبشی در محل تقاطع بال و جان ستون در نزدیک نبشی فوقانی قرار گرفته است. در اتصال‌های پیچی در مصالح کامپوزیتی FRP، محل قرارگیری پیچ‌ها، اهمیت بالایی دارد. در شکل ۵، محل قرارگیری پیچ‌ها مشاهده می‌شود.

۱.۰. اتصال پیچی نبشی معمولی

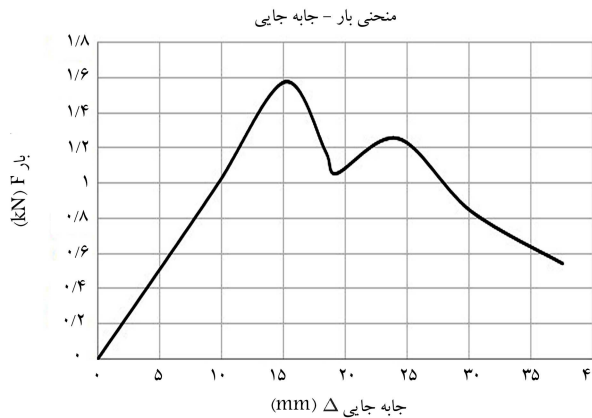
اتصال پیچی نبشی معمولی، از ساده‌ترین نوع اتصال تیر به ستون به حساب می‌آید، که در آن نبشی پالتروژنی برای اتصال تیر به ستون استفاده شده است. پیچ‌های به کار رفته در اتصال‌ها از نوع پیچ‌های پر مقاوم خشکه هستند. واشرهای استفاده شده در اتصال‌های پیچی، بزرگ انتخاب شده‌اند تا در اثر سفت شده‌اند پیچ‌ها، آسیبی به کامپوزیت وارد نشود و سطح درگیری بیشتری در محل اتصال ایجاد شود.

۲.۰. اتصال پیچی تقویت شده

در شکل ۶، نحوه‌ی ایجاد اتصال پیچی تقویت شده مشاهده می‌شود که در آن دو قطعه‌ی L شکل به تیر و دو قطعه به ستون متصل شده‌اند و پس از سرهنگی، ۴ قطعه‌ی L شکل به یکدیگر متصل و همانند یک لچکی باعث تقویت اتصال شده‌اند.

۳.۰. اتصال نبشی با چسب

تعیین نوع چسب در اتصال چسبی پروفیل‌های کامپوزیتی FRP، اهمیت بالای دارد. پس از بررسی و آزمایش بر روی رزین‌های پلی استر و اپوکسی مشاهده شد که چسب اپوکسی، مشخصات مقاومتی بالاتری نسبت به رزین پلی استر دارد و بنا براین برای اتصال چسبی، از رزین اپوکسی استفاده شده است. براساس ویژگی‌های رزین اپوکسی، با افزایش دمای چسب در هنگام عمل آوری، مقاومت برشی آن فروزنی می‌یابد. به همین منظور برای افزایش دمای چسب هنگام عمل آوری از سشوار صنعتی



شکل ۱۱. منحنی بار جایه جایی اتصال پیچی.

۱.۴.۵. اتصال نبیشی با پیچ
در اتصال نبیشی با پیچ، با اعمال بارگذاری استاتیکی و ایجاد جایه جایی در تیر، اولین ترک در نبیشی فوقانی ایجاد شده است. با افزایش جایه جایی، ترک در نبیشی فوقانی گسترش یافته و با ادامه ای روند افزایش جایه جایی، نبیشی فوقانی و نبیشی جان از محل اولیه خود بلند شده و نبیشی فوقانی از محلی که به ستون پیچ شده است، ترک خورده است. درنهایت، با افزایش جایه جایی تیر، ترک ها افزایش یافته اند؛ به طوری که در نبیشی فوقانی، کاملاً گسیختگی کششی اتفاق افتاده و نبیشی جان نیز در حالت گسیختگی کششی قرار گرفته است. پس از گسیختگی در نبیشی فوقانی و نبیشی جان، آزمایش متوقف شده است. علت شکست در نبیشی ها، عدم بودن راستای بار بر راستای الیاف است، زیرا کامپوزیت ها در جهت الیاف، بیشترین ظرفیت تحمل بار و درجهت عمود بر الیاف، ظرفیت بار محدودی دارند. در ادامه، میزان ظرفیت باربری و دورانی اتصال بررسی شده است.

• منحنی بار - جایه جایی و ممان - دوران

منحنی های برازش شده بار - جایه جایی و ممان - دوران برای اتصال نبیشی با پیچ، در شکل های ۱۱ و ۱۲ مشاهده می شوند. مطابق منحنی های ارائه شده، اتصال در بار ۱/۶ کیلونیوتن به بیشینه هی مقاومت خود رسیده و سپس نبیشی فوقانی، مقاومت خود را زد داده و پس از اندکی جایه جایی، نبیشی جان و نبیشی نشیمن از خود مقاومت نشان داده و در محدودی بار ۱/۲ کیلونیوتن، نبیشی جان نیز گسیخته شده و مقاومت اتصال به تدریج کاهش یافته است.

در اتصال نبیشی با پیچ، سختی اولیه قاب مطابق رابطه ۵ تعیین می شود:

$$K_{frame} \frac{F}{\Delta} = 10^3 (KN/m) \quad (5)$$

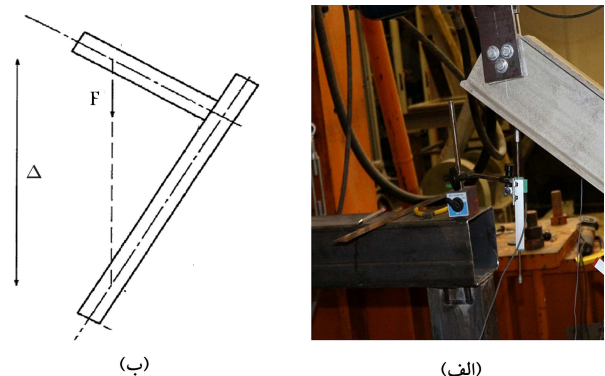
و همچنین سختی دورانی اولیه اتصال مطابق رابطه ۶ تعیین می شود:

$$K_\theta = \frac{M}{\theta} = 17,5 (KN.m/rad) \quad (6)$$

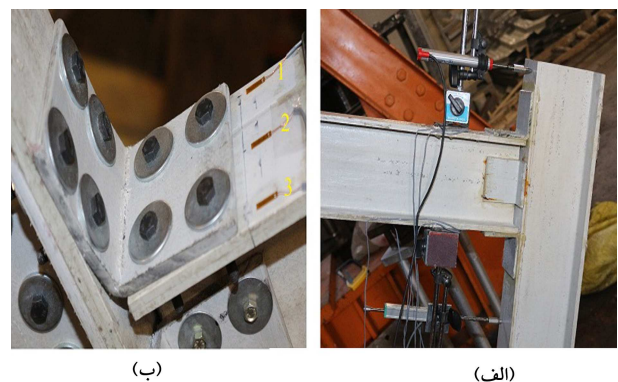
در شکل ۱۳، تصویری از شکست در اتصال پیچی بدون تقویت نشان داده شده است.

۲.۴.۵. اتصال تقویت شده پیچی

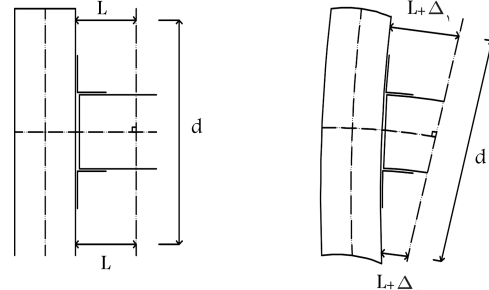
در اتصال تقویت شده پیچی با اعمال بارگذاری استاتیکی، اولین ترک خوردگی در اتصال فوقانی ایجاد شده و با افزایش جایه جایی تیر، ترک ها گسترش پیدا کرده و



شکل ۸. الف) قرارگیری LVDT زیربار و ب) موقعیت بار و جایه جایی.



شکل ۹. الف) قرارگیری LVDT برای تعیین سختی دوران و ب) قرارگیری گرنش سنج در بال بالانسی تیر.



شکل ۱۰. محاسبه دوران در محل اتصال. [۱]

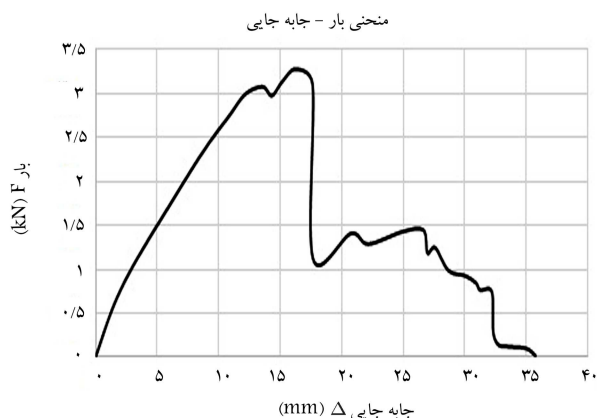
$$k_\theta = \frac{M}{\theta} (kN.m/rad) \quad (3)$$

$$M = F \times h (KN.m) \quad (4)$$

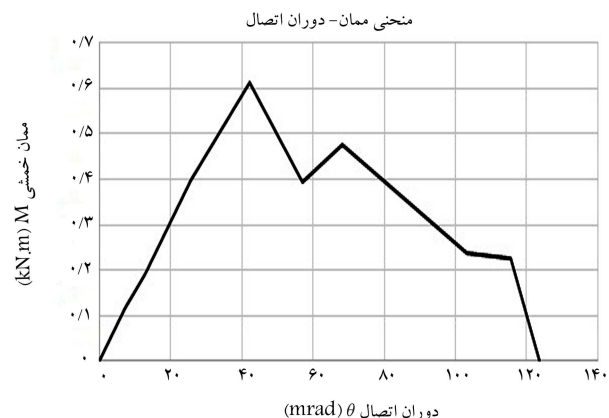
که در آن ها، Δ و Δ_2 تغییر مکان در بالا و پایین تیر، d فاصله بین دو سر یا گرنش سنج ها، M ممان خمشی در ناحیه ای اتصال و h فاصله ای افقی از نیروی واردہی F تا محل اتصال هستند.

۴. ارزیابی نتایج

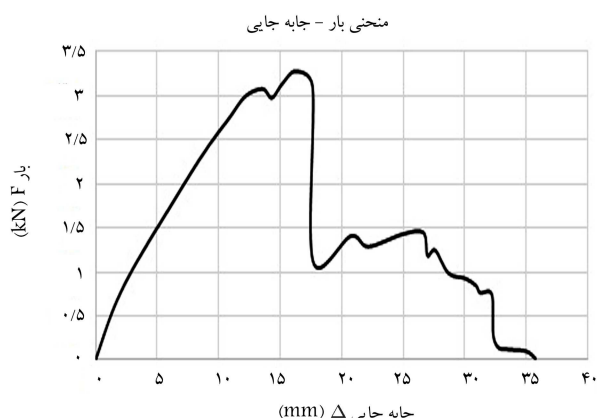
پس از نصب تمامی اعضا، با استفاده از دستگاه سروست بارگذاری استاتیکی با سرعت ۲,۸ mm/min اعمال شد. شرایط آزمایش برای هر ۳ اتصال، یکسان و نتایج آزمایش به طور مجزا برای هر اتصال به این شرح بوده است:



شکل ۱۴. منحنی بار - جایه جایی اتصال تقویت شده پیچی.



شکل ۱۲. منحنی ممان - دوران اتصال پیچی.



شکل ۱۵. منحنی ممان - دوران اتصال تقویت شده پیچی.



شکل ۱۶. لحظه‌ی شکست در اتصال پیچی تقویت شده.

۳.۴.۵. اتصال نبیشی با چسب
در اتصال نبیشی با چسب، با اعمال بارگذاری استاتیکی، چسب اتصال در نبیشی فوقانی، لایبی از ستون را جدا کرده و از همان قسمت جدایی آغاز شده است. با افزایش جایه جایی تیر، جدایی چسب افزایش یافته و چسب اتصالی در نبیشی جان نیز به تدریج شروع به جدا شدن از ستون کرده است. با ادامه‌ی روند افزایش جایه جایی، نبیشی فوقانی و جان از ستون جدا شده‌اند. در اتصال نبیشی با چسب، به عملت درگیر شدن کل سطح نبیشی و تماس کامل نبیشی با تیر و ستون، به نبیشی آسیب جدی وارد نشده است. به عملت ضعیف بودن رزین بهکار رفته در بین لایه‌های مصالح ستون، لایبی از سطح ستون همراه با چسب اتصال از بدنه‌ی ستون جدا



شکل ۱۳. لحظه‌ی شکست اتصال پیچی.

درنهایت، در نبیشی فوقانی گسیختگی کششی رخ داده است. پس از گسیختگی ایجاد شده، نبیشی جان نقش تحمل دوران را بر عهده گرفته است که پس از افزایش جایه جایی تیر، در نبیشی جان نیز گسیختگی کششی رخ داده است. این روند ادامه یافته و درنهایت نبیشی نشیمن تحت بارهای وارد گسیختگی شده است. عملت شکست در آزمایش اخیر، هم‌راستا نبودن جهت بار و جهت الیاف در نبیشی اتصال بوده است.

- منحنی بار - جایه جایی و ممان - دوران منحنی‌های برازش شده بار جایه جایی و ممان - دوران اتصال پیچی تقویت شده مطابق شکل‌های ۱۴ و ۱۵ است.

مطابق منحنی‌های اخیر، اتصال در بار $\frac{2}{3}$ کیلوبینتون به بیشینه‌ی مقاومت خود رسیده و سپس نبیشی فوقانی، مقاومت خود را از دست داده و پس از اندکی جایه جایی، نبیشی جان و نبیشی نشیمن از خود مقاومت نشان داده و در محدوده‌ی بار $\frac{1}{5}$ کیلوبینتون نبیشی جان نیز گسیخته شده و مقاومت اتصال به تدریج کاهش یافته است. در اتصال تقویت شده پیچی ذکر شده، سختی قاب و سختی دوران اولیه‌ی اتصال به ترتیب مطابق روابط ۷ و ۸ تعیین شده است:

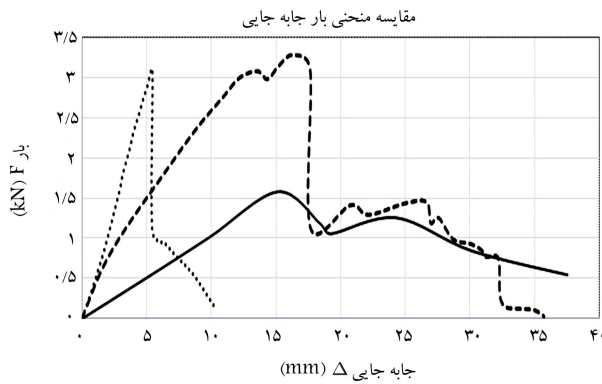
$$K_{frame} = \frac{F}{\Delta} = 50.2 (KN/m) \quad (7)$$

$$K_{\theta} = \frac{M}{\theta} = 81,45 (KN.m/rad) \quad (8)$$

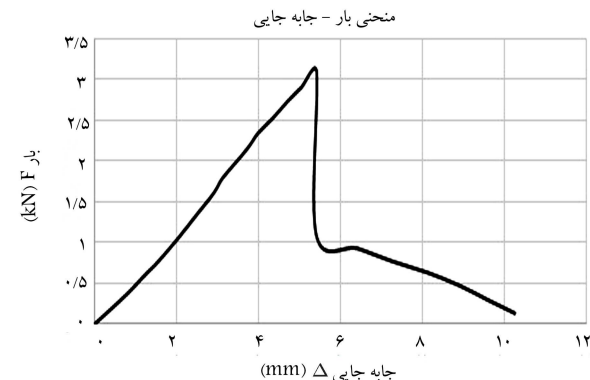
در شکل ۱۶، تصویری از لحظه‌ی شکست در اتصال تقویت شده پیچی مشاهده می‌شود.



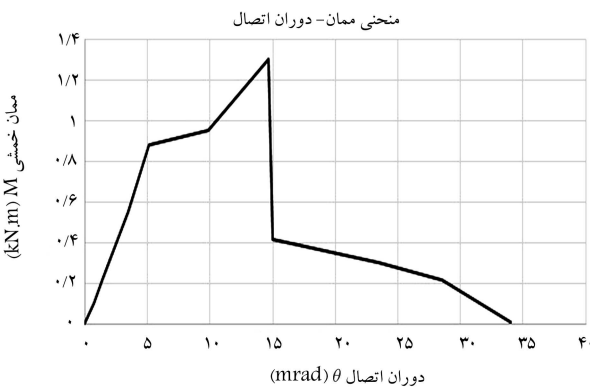
شکل ۱۹. لحظه‌ی شکست در اتصال چسبی.



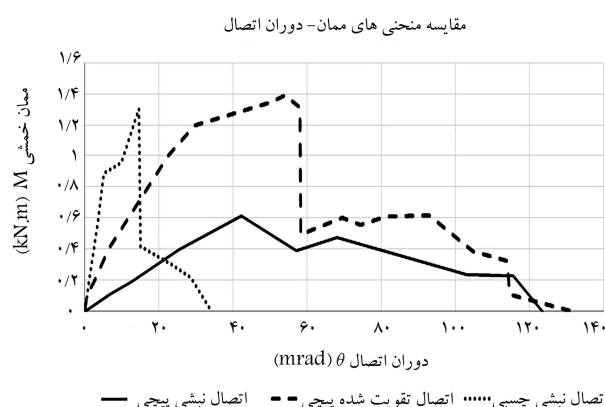
شکل ۲۰. مقایسه‌ی منحنی‌های بار جابه‌جایی.
اتصال نبی نیشی چسبی اتصال تقویت شده پیچی --- آزمایش نبی نیشی پیچی —



شکل ۱۷. منحنی بار جابه‌جایی اتصال چسبی.



شکل ۱۸. منحنی ممان - دوران اتصال چسبی.



شکل ۲۱. مقایسه‌ی منحنی‌های ممان - دوران اتصال.

۶. نتیجه‌گیری
در نوشتار حاضر، ابتدا با انجام آزمایش کششی، مشخصات مکانیکی مصالح کامپوزیتی FRP استخراج شده و با انجام آزمایش روی سه نوع اتصال پروفیل‌های کامپوزیتی با پیچ و چسب، این نتایج به دست آمده است:

- از نظر پارامترهای مقاومتی، ظرفیت برابری اتصال تقویت شده‌ی پیچی و اتصال نبی نیشی چسب (با چسب مورد بررسی) تقریباً برابر بوده است و به میزان ۲ برابر اتصال نبی نیشی پیچی، بار تحمل می‌کند.

شده است. بنابراین اگر رزینی قوی‌تر از رزین پلی‌استر در بین لایه‌های الیاف ستون استفاده شده بود، چسبندگی بین لایه‌ها در ستون افزایش یافته و اتصال تحت بارهای بیشتری گسیخته شده بود.

۵. منحنی بار - جابه‌جایی و ممان - دوران اتصال
در شکل‌های ۱۷ و ۱۸، منحنی‌های بار - جابه‌جایی و ممان - دوران اتصال چسبی مشاهده می‌شود که مطابق آن‌ها تحت بار $1 KN$ ، نبی نیشی فوکانی و نبی نیشی جان گسیخته شده و ظرفیت باربری به شدت کاهش یافته، سپس نبی نیشی نشیمن مقاومت کرده و با افزایش جابه‌جایی تیر، نبی نیشی نشیمن نیز گسیخته شده است. در این حالت سختی قاب و سختی دوران اولیه اتصال به ترتیب مطابق روابط ۹ و ۱۰ است:

$$K_{frame} = \frac{F}{\Delta} = 526 (KN/m) \quad (9)$$

$$K_\theta = \frac{M}{\theta} = 1424 (KN.m/rad) \quad (10)$$

در شکل ۱۹، تصویری از لحظه‌ی شکست در اتصال چسبی مشاهده می‌شود.

۵. مقایسه‌ی عملکرد اتصال‌ها
در شکل‌های ۲۰ و ۲۱، منحنی‌های بار - جابه‌جایی و ممان - دوران اتصال با یکدیگر مقایسه شده‌اند. در جدول ۲، به طور خلاصه عملکرد اتصال‌های انجام شده ارائه شده است.

جدول ۲. مقایسه‌ی ظرفیت اتصال‌های پیچی و چسبی.

$\theta_{\max}(mrad)$	$M_{\max}(KN.m/rad)$	$\Delta_{\max}(mm)$	$F_{\max}(KN)$	$K_{\theta}(KN.m/rad)$	$K_{frame}(KN/m)$	سختی		اتصال نبیشی پیچی
						ظرفیت باربری جابه‌جایی بیشینه	مان خمشی بیشینه دوران بیشینه	
۱۲۳	۰/۶	۴۰	۱/۷۲	۱۷/۵	۱۰۳	۱۲۳	۰/۶	اتصال نبیشی پیچی
۱۳۱/۴	۱/۳۸	۳۲	۳/۴	۸۱/۴۵	۵۰۳	۱۳۱/۴	۱/۳۸	اتصال تقویتی پیچی
۳۴	۱/۳	۱۱	۳/۱	۱۴۲/۶	۵۲۶	۳۴	۱/۳	اتصال چسبی

۷. در اتصال پیچی، باید از تقویت کننده‌هایی برای بالا بردن عملکرد مکانیکی استفاده شود و در اتصال چسبی مورد بررسی در پژوهش حاضر، باید چسبیندگی بین الیاف‌های جسم متصل‌شونده افزایش یابد.
۸. هدف در پژوهش حاضر، استفاده از مصالح کامپوزیتی در کل سازه بوده و با توجه به اینکه مشخصات مقاومتی مصالح کامپوزیتی الیاف شیشه پایین‌تر از پیچ پرمقاوم است، بدینهی است شکست در نبیشی کامپوزیتی رخ دهد. به نوعی پژوهش حاضر، به دنبال شکل و حالتی از نبیشی کامپوزیتی است که در عین سادگی و اقتصادی بودن، بتواند مقاومت بیشتری از خود نشان دهد.
۹. از لحاظ زمان و سرعت اتصال، اتصال پیچی سریع‌تر آماده می‌شود و نیاز به زمان عمل‌آوری اتصال چسب ندارد. در اتصال پیچی می‌توان اعضا را در کارخانه سوراخ و در محل استفاده کرد، اما اتصال چسبی باید در محل انجام شود.
۱۰. در اتصال پیچی، قابلیت باز شدن پیچ و تعویض اعضا وجود دارد، اما در اتصال چسبی اعضا به راحتی از هم جدا نمی‌شوند.
۱۱. از لحاظ آلودگی زیست‌محیطی، اتصال پیچی، گرد الیاف را در محیط پخش و اتصال چسبی، مواد و بوی شیمیایی نامناسبی تولید می‌کند.
۱۲. سختی اولیه‌ی قاب اتصال‌های تقویت شده‌ی پیچی و چسبی تقریباً برابر و به میزان ۵ برابر اتصال نبیشی پیچی بوده است.
۱۳. اتصال چسبی مورد بررسی در پژوهش حاضر، بیشترین سختی دورانی را دارد، که به میزان ۱/۷۵ برابر اتصال تقویت شده‌ی پیچی و ۸ برابر اتصال پیچی است.
۱۴. علت بالاتر بودن ظرفیت باربری و سختی اولیه در اتصال تقویت شده‌ی پیچی و اتصال چسبی نسبت به اتصال نبیشی پیچی می‌تواند وجود صفحه‌ی تقویتی در اتصال تقویت شده و درگیر شدن کامل سطح نبیشی اتصال توسط چسب در اتصال چسبی باشد.
۱۵. اتصال چسبی از لحاظ سختی اولیه و دورانی، عملکرد بسیار بهتری نسبت به اتصال پیچی هم‌شکل دارد، اما با تغییر مکان بسیار کمی نسبت به اتصال پیچی گسیخته می‌شود (شکست ترد)، البته اگر رزین استفاده شده بین الیاف‌های جسم متصل شونده قوی باشد، چسبیندگی بین لایه‌ها قوی می‌شود و می‌تواند باعث بهبود عملکرد در اتصال چسبی شود.
۱۶. علت شکست در اتصال پیچی و پیچی تقویت شده، هم‌راستا نبودن جهت بار با جهت الیاف در نبیشی اتصال بوده است. علت شکست در اتصال چسبی، ضعیف بودن چسبیندگی بین لایه‌ی الیاف‌ها در پروفیل کامپوزیتی تیر و ستون بوده است.

پانوشت‌ها

1. Polyester
2. Vinyl ester
3. Epoxy
4. Bank
5. Mottram and Zheng
6. Turvey and Cooper
7. Mosallam
8. Qureshi
9. Ascione
10. David Martins
11. American society for testing and materials (ASTM)
12. Waterjet
13. Servotest
14. linear variable differential transformer (LVDT)

منابع (References)

1. Afzir Advanced Solutions, "Retrofitting with FRP. web", (In Presian) (19 Apr., 2017).
2. Bank, L.C. "Composites for construction structural design With FRP materials", John Wiley & Sons, Inc. (2006).
3. Coelho, A.M.G. and Mottram, J.T. "A review of the behaviour and analysis of bolted connections and joints in pultruded fibre reinforced polymers", *Materials & Design*, **74**, pp. 86-107 (2015).
4. Ascione, F., Lamberti, M., Razaqpur, A.G. and et al. "Strength and stiffness of adhesively bonded GFRP beam-column moment resisting connections", *Composite Structures*, **160**, pp. 1248-1257 (2017).

5. Martins, D., Proenca, M., Correia, J.R and et al. "Development of a novel beam-to-column connection system for pultruded GFRP tubular profiles", *Composite Structures*, **171**, pp. 263-276 (2017).
6. Smith, S.J., Parsons, I.D. and Hjelmstad, K.D. "Experimental comparisons of connections for GFRP pultruded frames", *Journal of Composites for Construction*, **3**(1), pp. 20-26 (1999).
7. ASTM D 638-02a Standard Test Method, ASTM D 638-02a Standard Test Method For Tensile Properties of Plastics (2002).
8. ASTM D3518/D3518M-13 Standard Test Method, ASTM D3518 /D3518M-13 Standard Test Method for In Plane Shear Response of Polymer Matrix Composite Materials by Tensile Test of a $\pm 45^\circ$ Laminate, ASTM International (2007).
9. Smith, S.J., Parsons, I.D. and Hjelmstad, K.D. "An experimental study of the behavior of connections for pultruded GFRP I-beams and rectangular tubes", *Composite Structures*, **42**(3), pp. 281-290 (1998).